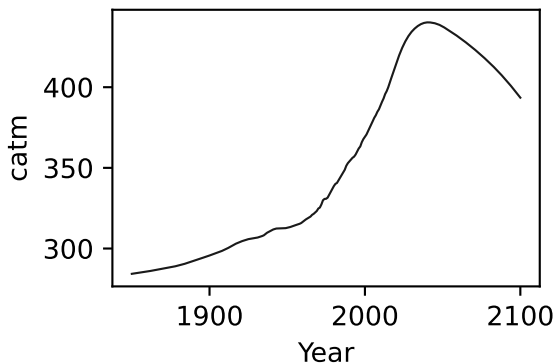
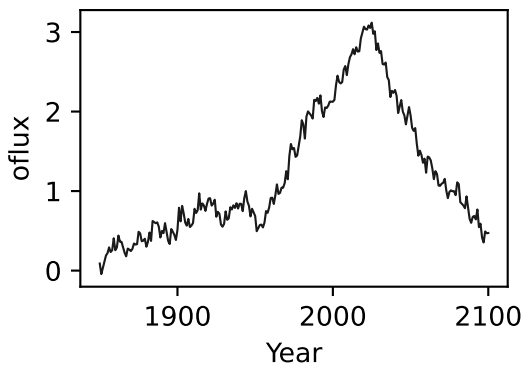
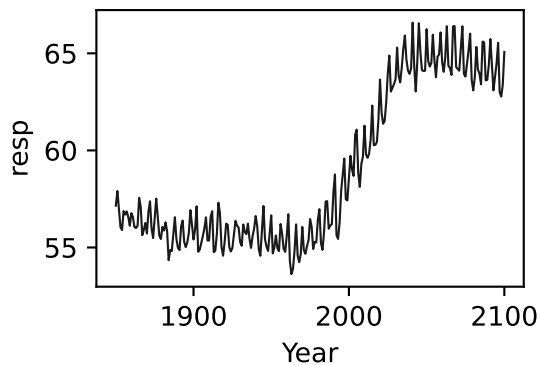
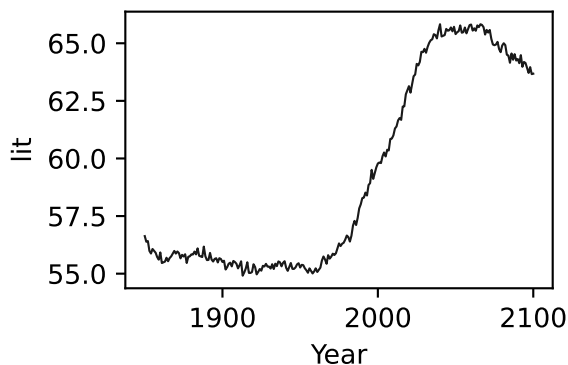
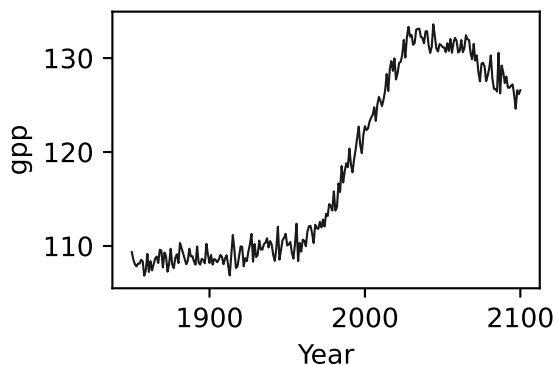
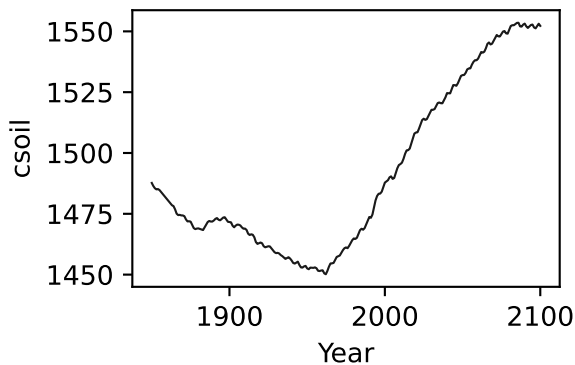
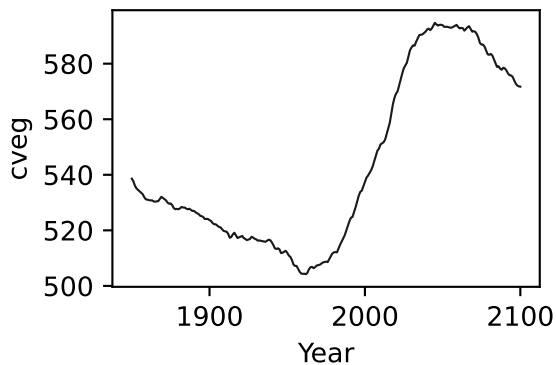
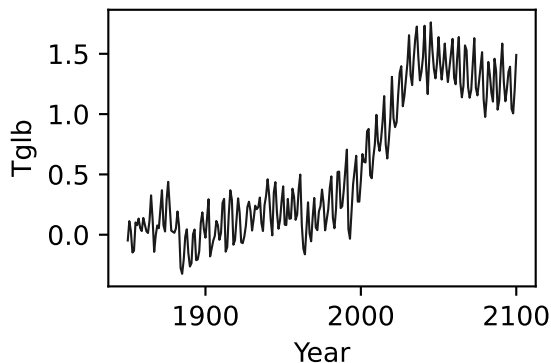
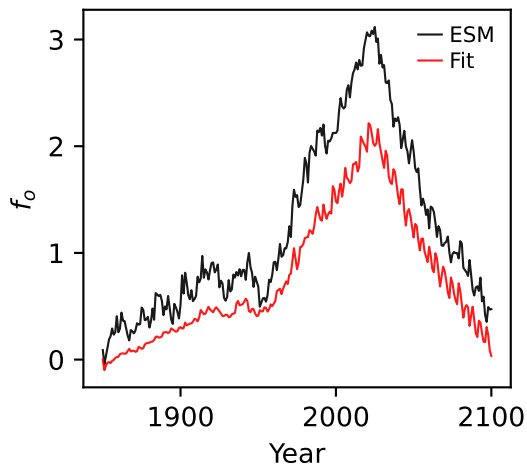
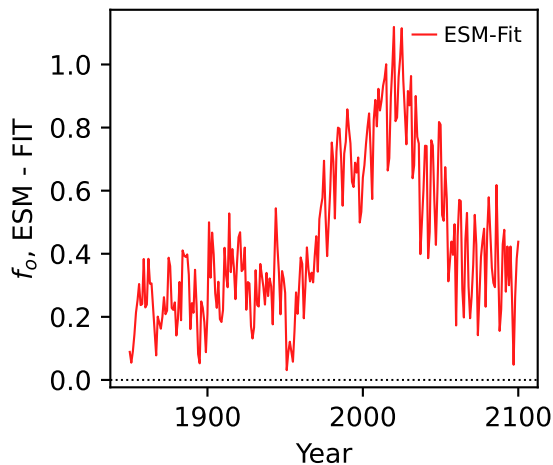
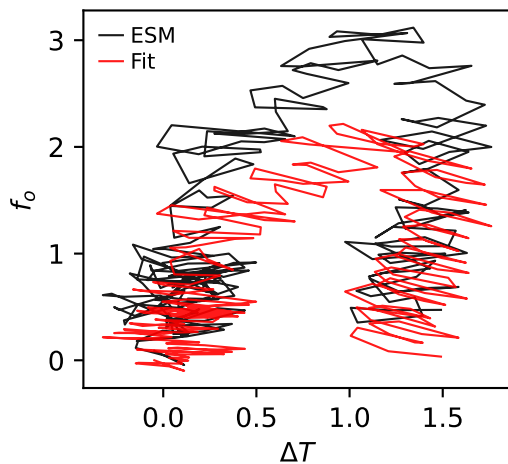
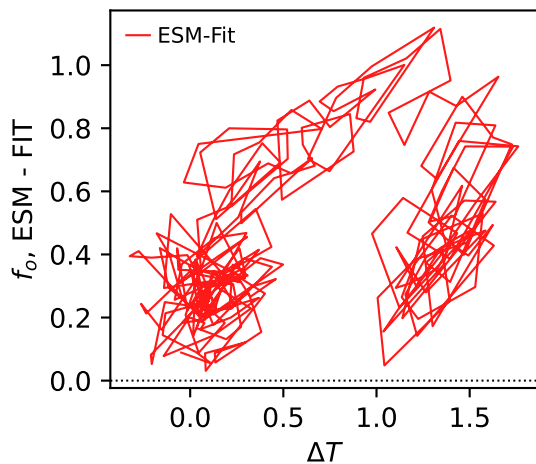
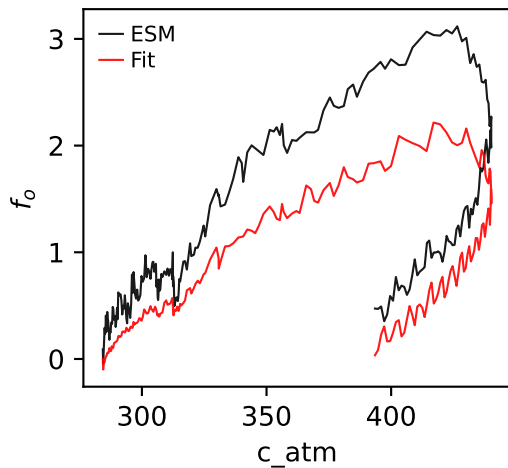
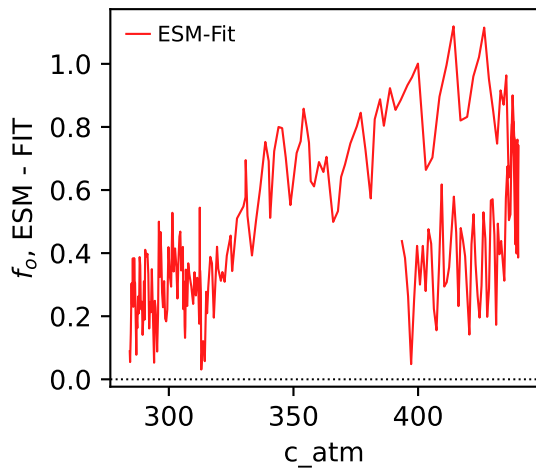
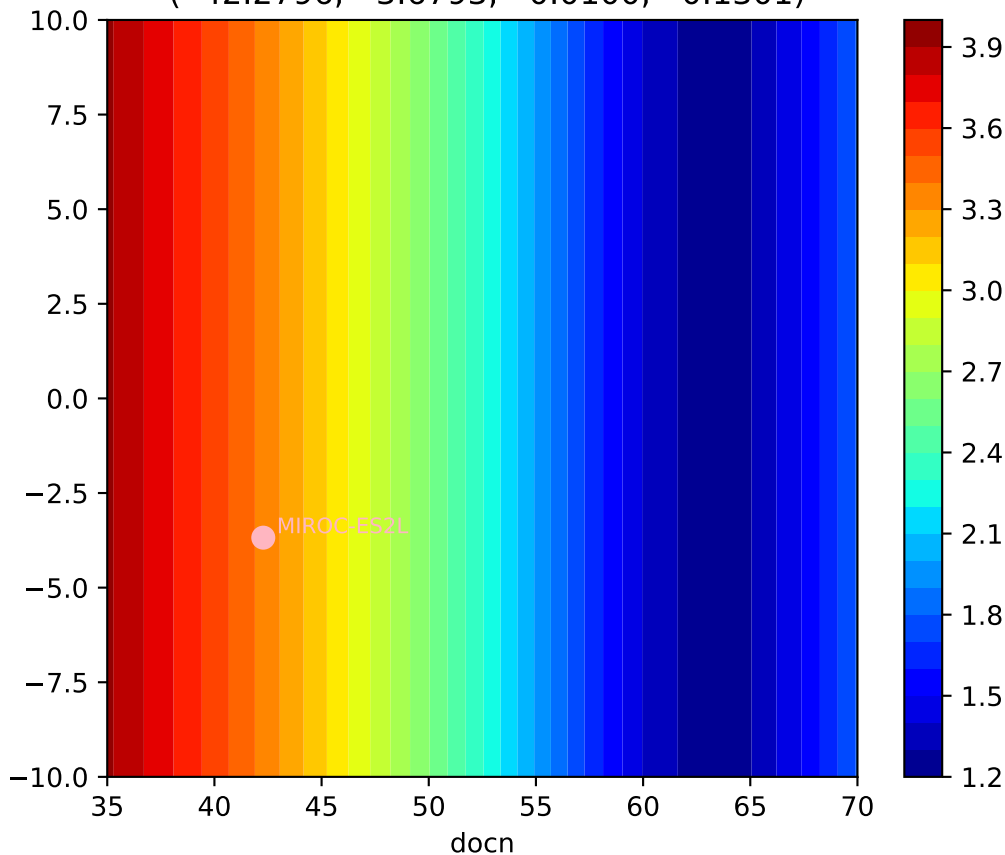


MIROC-ES2L, ssp119, f_o MIROC-ES2L, ssp119, f_o 

MIROC-ES2L, ssp119, f_o MIROC-ES2L, ssp119, f_o MIROC-ES2L, ssp119, f_o MIROC-ES2L, ssp119, f_o MIROC-ES2L, ssp119, f_o MIROC-ES2L, ssp119, f_o 

MIROC-ES2L, ssp119, f_o , $\ln(\text{MSE}/\text{SIGMA})$
(42.2796, -3.6793, 0.0100, 0.1301)



MIROC-ES2L, ssp119, f_o , $\ln(\text{MSE}/\text{SIGMA})$
(42.2796, -3.6793, 0.0100, 0.1301)

